

## ANALISIS LENDUTAN PERKERASAN KAKU PADA PEMBEBANAN TENGAH DAN TEPI DENGAN METODE ELEMEN HINGGA

Vian Prasetya Utomo<sup>1</sup>, Niken Silmi Surjandari<sup>2</sup>, Budi Yulianto<sup>3</sup>

<sup>1</sup>Mahasiswa Magister Teknik, Jurusan teknik Sipil, Universitas Sebelas Maret Surakarta,  
vianprasetyaa@gmail.com

<sup>2</sup>Dosen Magister Teknik, Jurusan teknik Sipil, Universitas Sebelas Maret Surakarta,  
nikensilmisurjandari@gmail.com

<sup>3</sup>Dosen Magister Teknik, Jurusan teknik Sipil, Universitas Sebelas Maret Surakarta,  
budi.yulianto@ft.uns.ac.id

### ABSTRAK

Perkerasan kaku banyak digunakan pada kondisi tanah dasar yang mempunyai daya dukung rendah. Perkerasan kaku merupakan solusi tepat dalam menangani tanah dasar yang bermasalah. Namun jika tebal dan mutu beton tidak diperhitungkan dengan tepat, akan menghasilkan lendutan yang sangat besar, sehingga menyebabkan cracking, serta pumping dan faulting pada perkerasan. Metode Elemen Hingga adalah salah satu alternatif dalam menganalisis besarnya lendutan akibat pembebanan pusat, dan tepi pelat. Penelitian ini menggunakan pelat berukuran 6x3 m dengan ketebalan 15,20, 25, 30 dan 35 cm dengan pembebanan 8 ton serta dengan mutu beton K250,K300 dan K350 pada pembebanan tengah dan tepi pelat.. Pada CBR 5% dengan tebal 15 cm Nilai lendutan maximum pada pelat tengah adalah -0,7630 mm sedangkan pada beban tepi sebesar -1,5646 mm dengan prosentase penurunan 51,23%. Prosentase penurunan pada beban tepi dan tengah sebesar 38%-52%.Sebaran tahanan tanah dasar pada beban tepi lebih sedikit dari pada beban tengah sehingga lendutan menjadi lebih besar. Besarnya nilai lendutan berbanding terbalik dengan mutu beton, CBR dan tebal pelat.

**Kata kunci:** Lendutan, sap 2000, Perkerasan Kaku, cracking, pumping

### 1. PENDAHULUAN

Pendistribusian barang didominasi transportasi darat. Dengan demikian apabila pendistribusian terhambat maka akan berimbas pada kestabilan ekonomi yaitu akan terjadi kenaikan harga barang dikarenakan biaya operasional yang dikeluarkan mengalami penambahan. Selain itu jika jalan rusak dapat mengurangi kenyamanan dalam berkendara bahkan dapat menyebabkan kecelakaan.

Perkerasan kaku banyak digunakan pada kondisi tanah dasar yang mempunyai daya dukung rendah, atau tanah yang tidak seragam (Surat, 2011). Perkerasan kaku adalah solusi tepat dalam menangani tanah dasar yang bermasalah. Namun jika tebal dan mutu beton tidak diperhitungkan dengan tepat, akan menghasilkan lendutan yang sangat besar, sehingga menyebabkan cracking, serta pumping dan faulting pada sambungan (Hilyanto, 2013). Kelebihan dari konstruksi perkerasan kaku adalah sifat kekakuan yang mampu menahan beban roda kendaraan dan menyebarkannya ke tanah dasar secara efisien serta mampu mengurangi deformasi pada perkerasan (Suryawan, 2009). Dampak terjadinya lendutan berlebih mengakibatkan retak-retak pada permukaan. Jika retak tidak segera ditangani berakibat pada berkurangnya umur rencana dari konstruksi perkerasan.

Penggunaan metode elemen hingga banyak digunakan dalam bidang engineering karena hasil yang akurat (Janco, 2010). Metode ini sangat fleksibel karena bentuk struktur yang rumit dan kompleks dapat di sederhanakan menjadi elemen-elemen kecil yang lebih sederhana.

## 2. METODE PENELITIAN

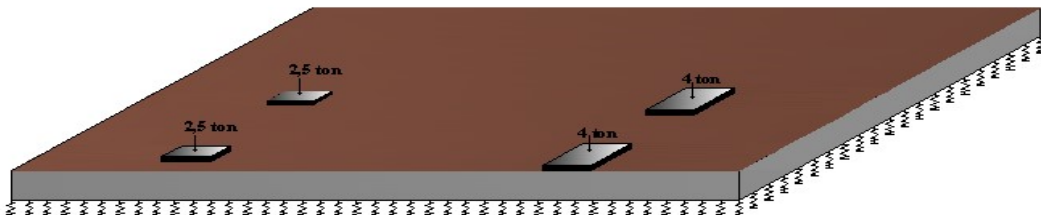
Metode penelitian yang digunakan dalam penelitian ini adalah metode Deskriptif Kuantitatif menggunakan pemodelan dengan program Sap-2000 v.14 untuk mendapatkan nilai lendutan pada pembebanan tengah dan tepi. Model berupa pelat berukuran 6x3 m dengan ketebalan 15,20, 25, 30 dan 35 cm dengan mutu beton K250, K300 dan K350 pada nilai CBR 5%, 10%, 15%, 20%, 25% dan 30% serta dengan beban 8 ton. Tahapan penelitian ini yaitu dengan melakukan analisis dengan membuat model pada program Sap-2000 v.14. dengan dilakukan variasi mutu beton, tebal pelat, dan nilai CBR. Output berupa besarnya lendutan perkerasan pada setiap pembebanan terhadap variasi penelitian.

## 3. ANALISIS

Hasil yang didapatkan dalam penelitian ini berupa grafik hasil lendutan tanah pada potongan melintang pelat akibat beban 8 ton pada pembebanan tengah dan tepi dengan variasi tebal pelat (15, 20, 25, 30 dan 35 cm) dan mutu beton (K250, K300, dan K350) dengan nilai CBR (5%, 10%, 15%, 20%, 25%, 30%). Gambar penampang model disajikan dalam gambar 1 dan 2.



Gambar 1. Penampang model beban di tengah



Gambar 2. Penampang model beban di tepi

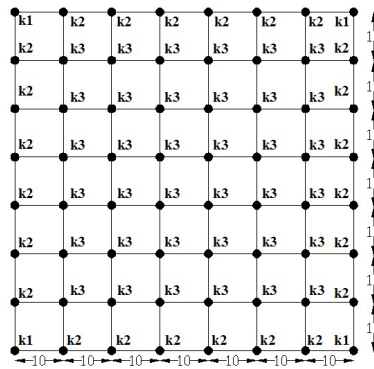
Tanah dasar (*subgrade*) yang dipakai sebagai tumpuan lapisan perkerasan jalan diasumsikan sebagai tumpuan elastis yang dimodelkan sebagai tumpuan spring. Nilai kekakuan spring dihitung berdasarkan model tumpuan pegas disajikan pada Tabel 1.

Tabel 1. Nilai Kekakuan Spring Berdasarkan CBR

| No | CBR% | k (psi/in) | k (kg/cm <sup>3</sup> ) | k1 (kg/cm <sup>3</sup> ) | k2 (kg/cm <sup>3</sup> ) | k3 (kg/cm <sup>3</sup> ) |
|----|------|------------|-------------------------|--------------------------|--------------------------|--------------------------|
| 1  | 5    | 140        | 3.877                   | 96.920                   | 193.840                  | 387.681                  |
| 2  | 10   | 200        | 5.538                   | 138.457                  | 276.915                  | 553.830                  |
| 3  | 15   | 225        | 6.231                   | 155.765                  | 311.529                  | 623.059                  |
| 4  | 20   | 250        | 6.923                   | 173.072                  | 346.144                  | 692.287                  |
| 5  | 25   | 285        | 7.615                   | 190.379                  | 380.758                  | 761.516                  |
| 6  | 30   | 325        | 9.000                   | 224.993                  | 449.987                  | 899.974                  |

Dalam analisis ini jarak antar tumpuan spring arah memanjang dan melintang sebesar 10 cm. Berdasarkan data tersebut maka nilai kekakuan spring k<sub>1</sub>, k<sub>2</sub>, dan k<sub>3</sub> dapat dilihat pada gambar 3 dan dapat dihitung sebagai berikut:

- $k_1 = 5,00 \times 5,00 \times 3,877 = 96,920 \text{ Kg/cm}^2$
- $k_2 = 5,00 \times 10,00 \times 3,877 = 193,840 \text{ Kg/cm}^2$
- $k_3 = 10,00 \times 10,00 \times 3,877 = 387,681 \text{ Kg/cm}^2$

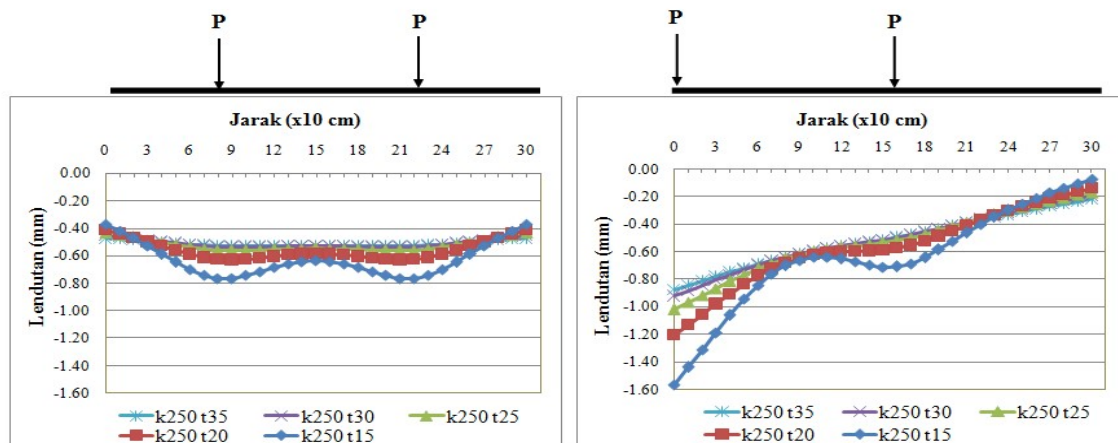


Gambar 3. Model Tumpuan Spring pada Perkerasan jalan k<sub>1</sub>, k<sub>2</sub> dan k<sub>3</sub>.

### Lendutan Pelat

Deformasi atau lendutan pada tanah dasar memberikan gambaran tentang perubahan bentuk dari suatu struktur perkerasan dalam keadaan elastis. Lendutan ijin merupakan batas kritis dari suatu perkerasan dimana apabila lendutan ijin sudah dilampaui maka struktur perkerasan tersebut dianggap gagal secara struktural dan tidak layak desain.

Lendutan maximum yang diijinkan pada tanah dasar struktur perkerasan adalah 2,5 cm (Bowles, 1998). Berikut analisis besaran lendutan pada tanah dasar dibawah struktur perkerasan pada beban ditengah dan ditepi dengan mutu beton K250 yang disajikan disajikan pada Gambar 4.



Gambar 4. diagram lendutan pada pelat pada pembebatan tengah dan tepi

Lendutan maksimum terbesar pada beban tengah terletak pada tebal 15cm sebesar -0,7630 mm sedangkan pada beban tepi sebesar -1,5646 mm dengan presentase penurunan sebesar

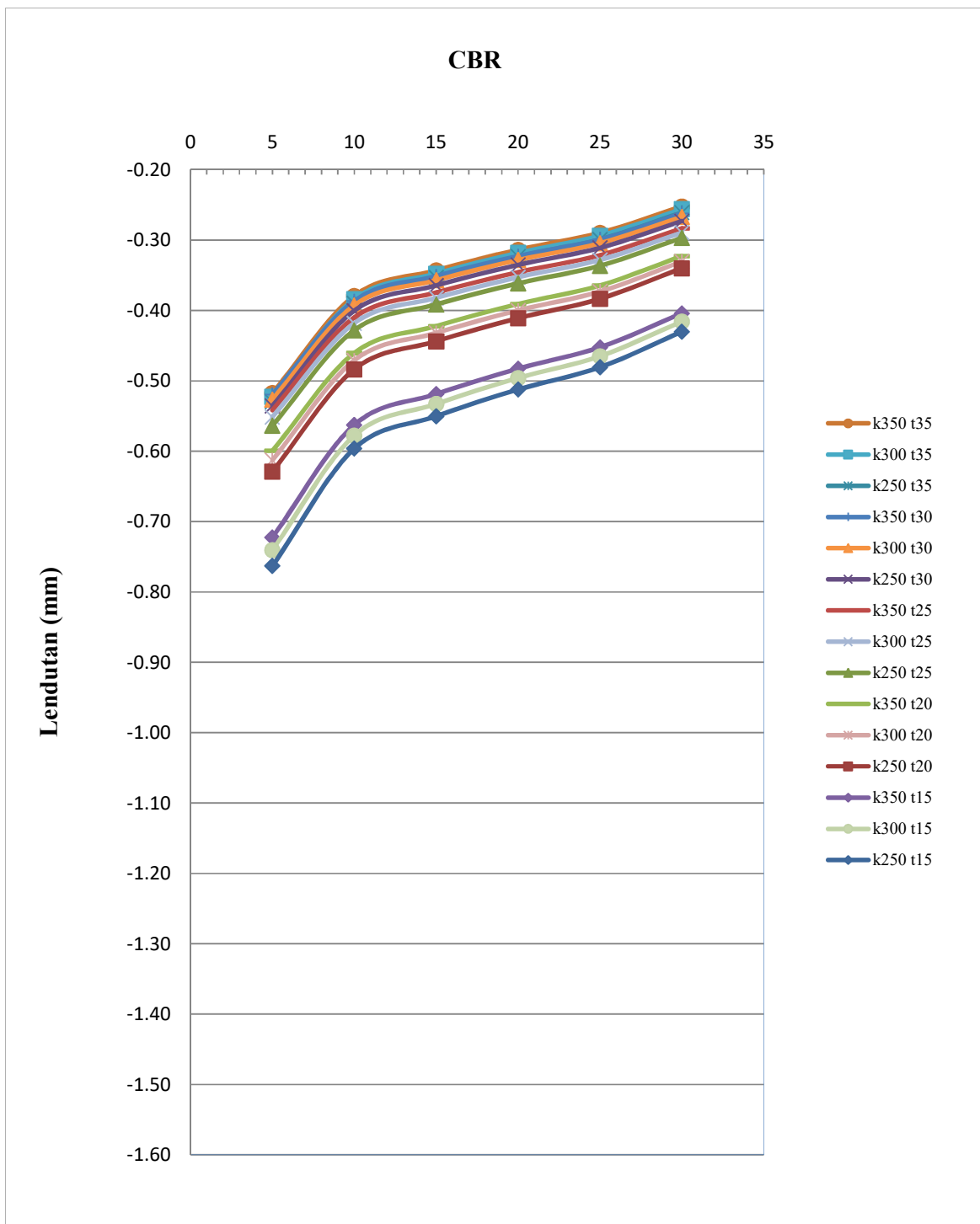
51,23%. Hasil analisis lendutan maksimum pada beban tengah dan tepi dapat dilihat pada tabel 2 dan tabel 3, dan gambar lendutan maksimum pada mutu beton K250 sampai K350 dapat terlihat pada gambar 5 dan gambar 6.

Tabel 2. Lendutan maksimum pada beban tengah

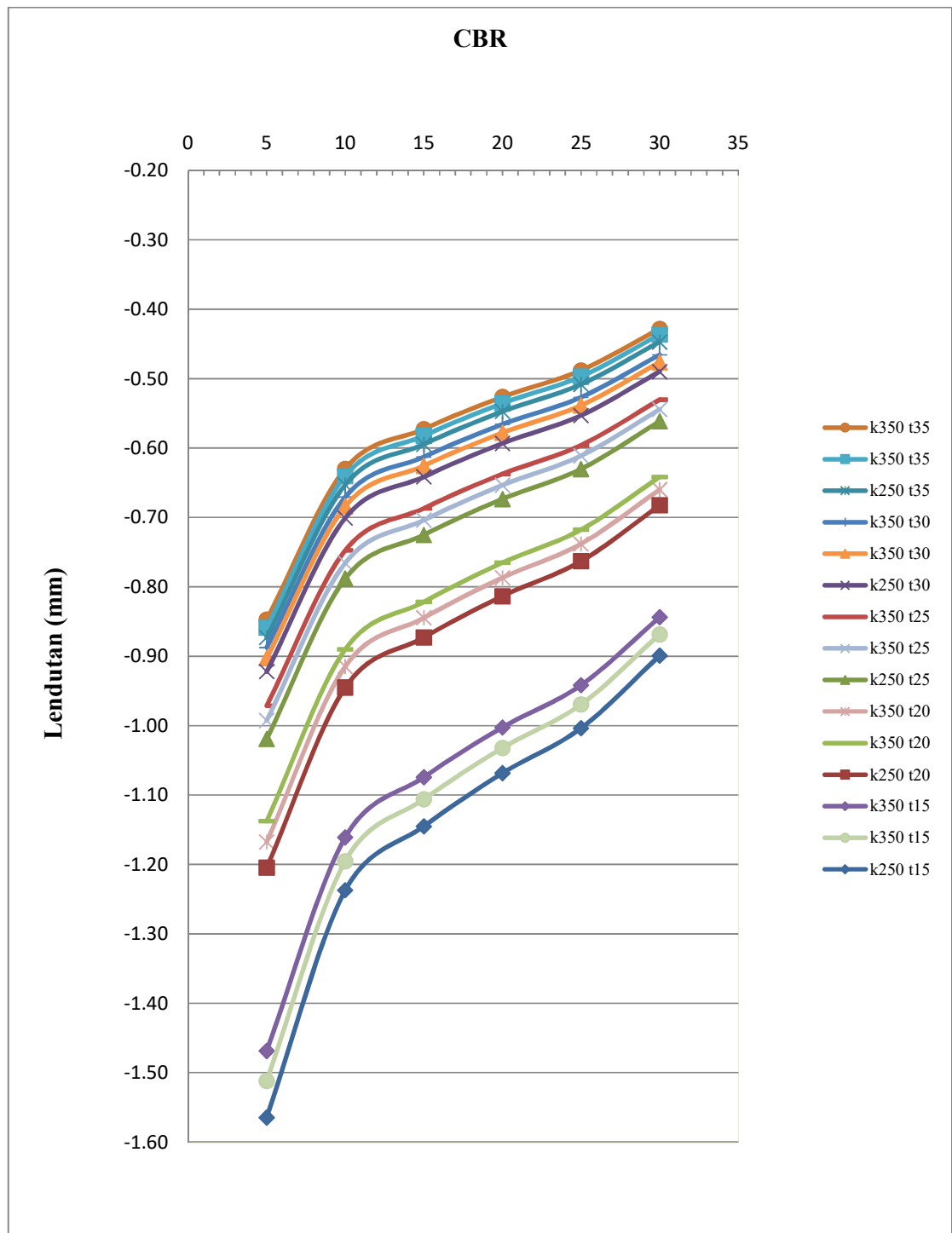
| Tebal<br>(cm) | Mutu<br>Beton | Lendutan Tengah (mm) |         |         |         |         |         |
|---------------|---------------|----------------------|---------|---------|---------|---------|---------|
|               |               | CBR 5%               | CBR 10% | CBR 15% | CBR 20% | CBR 25% | CBR 30% |
| 15            | K250          | -0.7630              | -0.5962 | -0.5502 | -0.5124 | -0.4806 | -0.4300 |
|               | K300          | -0.7404              | -0.5777 | -0.5328 | -0.4959 | -0.4649 | -0.4157 |
|               | k350          | -0.7226              | -0.5626 | -0.5187 | -0.4826 | -0.4523 | -0.4041 |
| 20            | K250          | -0.6289              | -0.4837 | -0.4438 | -0.4110 | -0.3834 | -0.3399 |
|               | K300          | -0.6127              | -0.4709 | -0.4319 | -0.3999 | -0.3730 | -0.3304 |
|               | k350          | -0.5995              | -0.4604 | -0.4222 | -0.3908 | -0.3645 | -0.3228 |
| 25            | K250          | -0.5636              | -0.4281 | -0.3914 | -0.3615 | -0.3364 | -0.2968 |
|               | K300          | -0.5513              | -0.4181 | -0.3821 | -0.3527 | -0.3281 | -0.2894 |
|               | k350          | -0.5414              | -0.4099 | -0.3745 | -0.3455 | -0.3214 | -0.2833 |
| 30            | K250          | -0.5355              | -0.4003 | -0.3644 | -0.3352 | -0.3110 | -0.2730 |
|               | K300          | -0.5265              | -0.3926 | -0.3571 | -0.3283 | -0.3044 | -0.2670 |
|               | k350          | -0.5193              | -0.3864 | -0.3511 | -0.3226 | -0.2990 | -0.2621 |
| 35            | K250          | -0.5293              | -0.3899 | -0.3531 | -0.3235 | -0.2989 | -0.2608 |
|               | K300          | -0.5226              | -0.3840 | -0.3475 | -0.3181 | -0.2938 | -0.2560 |
|               | k350          | -0.5172              | -0.3792 | -0.3430 | -0.3137 | -0.2896 | -0.2521 |

Tabel 3. Lendutan maksimum pada beban tepi

| Tebal<br>(cm) | Mutu<br>Beton | Lendutan Tepi (mm) |         |         |         |         |         |
|---------------|---------------|--------------------|---------|---------|---------|---------|---------|
|               |               | CBR 5%             | CBR 10% | CBR 15% | CBR 20% | CBR 25% | CBR 30% |
| 15            | K250          | -1.5646            | -1.2372 | -1.1450 | -1.0684 | -1.0036 | -0.8992 |
|               | K300          | -1.5118            | -1.1952 | -1.1061 | -1.0321 | -0.9694 | -0.8686 |
|               | k350          | -1.4688            | -1.1608 | -1.0743 | -1.0024 | -0.9415 | -0.8437 |
| 20            | K250          | -1.2047            | -0.9450 | -0.8729 | -0.8133 | -0.7630 | -0.6825 |
|               | K300          | -1.1675            | -0.9147 | -0.8446 | -0.7868 | -0.7380 | -0.6600 |
|               | k350          | -1.1374            | -0.8900 | -0.8216 | -0.7652 | -0.7176 | -0.6416 |
| 25            | K250          | -1.0193            | -0.7881 | -0.7251 | -0.6734 | -0.6301 | -0.5614 |
|               | K300          | -0.9926            | -0.7656 | -0.7039 | -0.6534 | -0.6112 | -0.5441 |
|               | k350          | -0.9712            | -0.7475 | -0.6869 | -0.6373 | -0.5958 | -0.5301 |
| 30            | K250          | -0.9222            | -0.7008 | -0.6415 | -0.5932 | -0.5530 | -0.4898 |
|               | K300          | -0.9027            | -0.6840 | -0.6255 | -0.5780 | -0.5385 | -0.4764 |
|               | k350          | -0.8872            | -0.6705 | -0.6127 | -0.5658 | -0.5268 | -0.4656 |
| 35            | K250          | -0.8731            | -0.6529 | -0.5945 | -0.5473 | -0.5082 | -0.4470 |
|               | K300          | -0.8586            | -0.6401 | -0.5823 | -0.5356 | -0.4969 | -0.4366 |
|               | k350          | -0.8470            | -0.6300 | -0.5726 | -0.5263 | -0.4879 | -0.4282 |



Gambar 5. Lendutan maksimum pelat pada pembebahan tengah



Gambar 6. Lendutan maksimum pelat pada pembebanan tepi

Perbandingan lendutan akibat beban tepi dan tengah dapat dilihat dalam tabel 4.

Tabel 4. Perbandingan lendutan beban tepi dan tengah

| Tebal<br>(cm) | Mutu<br>Beton | Prosentase Lendutan (%) |         |         |         |         |         |
|---------------|---------------|-------------------------|---------|---------|---------|---------|---------|
|               |               | CBR 5%                  | CBR 10% | CBR 15% | CBR 20% | CBR 25% | CBR 30% |
| 15            | K250          | 51.2326                 | 51.8074 | 51.9472 | 52.0469 | 52.1143 | 52.1765 |
|               | K300          | 51.0259                 | 51.6660 | 51.8291 | 51.9520 | 52.0421 | 52.1476 |
|               | K350          | 50.8040                 | 51.5326 | 51.7136 | 51.8545 | 51.9624 | 52.1025 |
| 20            | K250          | 47.7944                 | 48.8147 | 49.1608 | 49.4711 | 49.7501 | 50.1930 |
|               | K300          | 47.5188                 | 48.5204 | 48.8640 | 49.1741 | 49.4545 | 49.9420 |
|               | K350          | 47.2921                 | 48.2749 | 48.6150 | 48.9234 | 49.2039 | 49.6945 |
| 25            | K250          | 44.7131                 | 45.6740 | 46.0132 | 46.3255 | 46.6146 | 47.1344 |
|               | K300          | 44.4593                 | 45.3918 | 45.7217 | 46.0262 | 46.3086 | 46.8184 |
|               | K350          | 44.2507                 | 45.1601 | 45.4819 | 45.7794 | 46.0559 | 46.5562 |
| 30            | K250          | 41.9321                 | 42.8728 | 43.1930 | 43.4885 | 43.7633 | 44.2623 |
|               | K300          | 41.6782                 | 42.6066 | 42.9181 | 43.2054 | 43.4724 | 43.9579 |
|               | K350          | 41.4697                 | 42.3801 | 42.6916 | 42.9725 | 43.2334 | 43.7075 |
| 35            | K250          | 39.3762                 | 40.2836 | 40.6035 | 40.8999 | 41.1769 | 41.6540 |
|               | K300          | 39.1334                 | 40.0182 | 40.3286 | 40.6158 | 40.8838 | 41.3634 |
|               | K350          | 38.9325                 | 39.7998 | 40.1030 | 40.3830 | 40.6438 | 41.1207 |

#### 4. PEMBAHASAN

Dari hasil analisi posisi pembebanan pusat, menghasilkan lendutan tanah terbesar pada tengah bentang sedangkan pembebanan tepi lendutan maksimum berada di tepi. Tanah dasar yang menahan pelat saat pembebanan tepi hanya sumbu z dan sumbu x negatif, sedangkan pada beban tengah tanah dasar sumbu x dan sumbu z menahan semua sehingga lendutan pada beban tepi lebih besar dari pada lendutan pada pembebanan tengah.

#### Pengaruh Lokasi Pembebanan

Lokasi pembebanan memberikan pengaruh yang sangat besar terhadap lendutan. Pembebanan ditepi memberikan nilai defleksi tertinggi sebesar 1,5646 mm pada mutu beton K250 tebal 15 cm. Prosantase penurunan beban tepi dan tengah sebesar 39%-52%.

#### Pengaruh Mutu Beton

Mutu beton pelat yang digunakan dalam analisis ini adalah K250, K300 dan K350. Hasil dari perhitungan menunjukkan bahwa peningkatan mutu beton pada pelat dapat mengurangi lendutan pelat, semakin bagus mutu beton mempengaruhi besarnya Modulus Young Pelat yang mampu menahan pelat sehingga lendutan semakin kecil.

#### Pengaruh Ketebalan Pelat

Tebal pelat yang digunakan dalam analisis ini adalah 15 cm, 20 cm, 25 cm, 30 cm dan 35 cm. Hasil dari perhitungan menunjukkan bahwa penambahan ketebalan pelat mampu mengurangi lendutan pelat yang sangat signifikan, semakin tebal pelat maka kekakuan akan semakin tinggi sehingga lendutan mengecil.

## 5. SIMPULAN

Berdasarkan analisis data dan pembahasan yang telah dilakukan, dapat diambil kesimpulan sebagai berikut:

- a. Lokasi pembebangan berpengaruh terhadap nilai defleksi. Beban ditepi pada CBR 5% pada tebal pelat 15 cm memberikan nilai defleksi tertinggi. Persentasi penurunan sebesar 51,23%.
- b. Besarnya mutu beton sangat berpengaruh terhadap nilai lendutan pelat. Semakin besar mutu beton semakin kecil lendutan yang terjadi pada plat perkerasan.
- c. Semakin tebal pelat maka kekakuan akan semakin tinggi sehingga lendutan mengecil.

## DAFTAR PUSTAKA

- Aleš Florian, Lenka Švelcová, and Rudolf Hela. (2012), Statistical Analysis of Stresses in Rigid Pavement. *International Journal of Civil and Environmental Engineering*, 63, 867-873.
- Bowles, Joseph E. (1989). Sifat-sifat fisis dan geoteknis tanah, Erlangga, Jakarta.
- Hardiatmo HC, (2008). “Sistem Plat Terpaku Untuk Perkuatan Pelat Beton Pada Perkerasan kaku”. Seminar Nasional Teknologi Tepat Guna Sarana dan Prasarana di Indonesia, Jogjakarta.
- Hilyanto, R.R. (2013). Simulasi Perilaku Pelat Beton Sebagai Perkerasan Kaku Di Atas Tanah Subgrade dengan Menggunakan Metode Elemen Hingga. *e-Jurnal Matriks Teknik Sipil*, 1, 424-431.
- Islam.M, (2014). Using Of Finite Element In Developing A New Method For Rigid Pavement Analysis, *International Journal, Civil Engineering And Technology*, 5, 69-75.
- Janco, Roland. (2010). “Solution Methods for Beam and Frames on Elastic Foundation Using the Finite Element Method”, International Scientific Conference MSFE, Ostrava, Czech Republik, 13 September 2010.
- Meshram, K., Goliya and Poddar A. (2013). Stress Analysis and Determination of Effective k-value for Rigid Pavement. *International Journal of Engineering Science and Technology*, 5(03),468-474.
- Maske, N.A, Anandkumar, A & Majumder, A. (2013). Analysis of rigid pavement stresses by Finite Element Method & Westergaard’s Method by varying sub-grade soil properties. *International Journal of Engineering Science Invention*, 2 (3).
- Padmono, Handi. (2007). Desain Kontruksi Plat dan Rangka Beton Bertulang Dengan Sap 2000 Versi 9, Andi, Jogjakarta.
- Suhendro, B. (2000). Metode Elemen Hingga Dan Aplikasinya. Jurusan Teknik Sipil. Universitas Gajah Mada. Jogjakarta
- Surat. (2011). Analisis struktur perkerasan jalan Di atas tanah ekspansif. Thesis. Jurusan Teknik Sipil. Universitas Sebelas Maret. Surakarta.
- Suryawan, Ary, (2009). Perkerasan jalan Beton Semen Portland (Rigid Pavement).Beta Offside. Yogjakarta